

Fig. 1 Comparison of pallet speed calculated and observed.

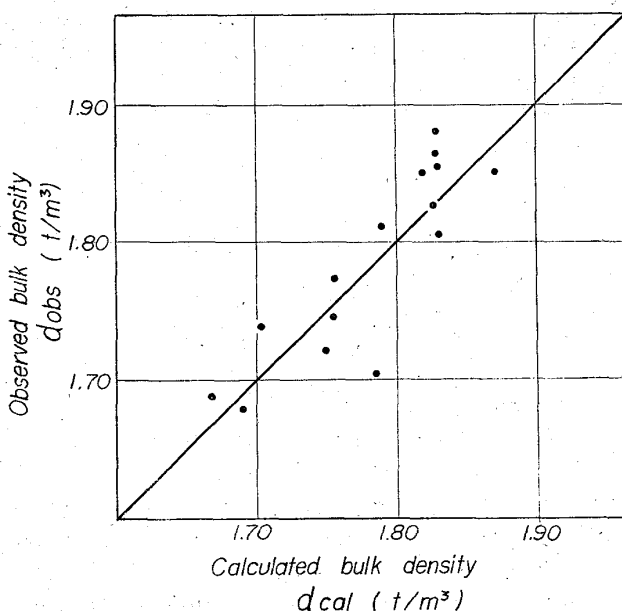


Fig. 2. Comparison of bulk density of sinter mixtures on pallet calculated and observed.

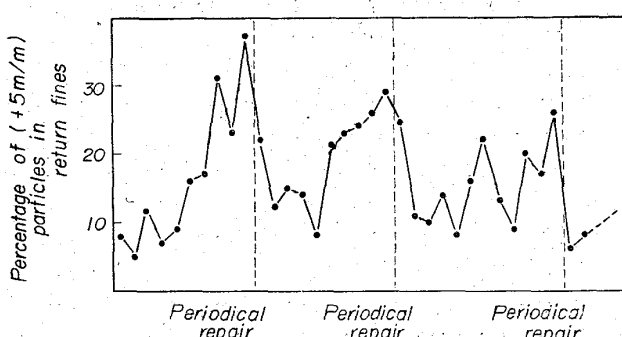


Fig. 3. Relation between percentage of +5 mm particles in return fines and periodical repair cycle.

けることができる。最も簡単な方法は回帰式を用いることであるが、この場合粒度の表示法がまだ一般化されていないので、例えば原料の-0.5mmの百分率で表示するとすれば、粒度 x 、装入層厚 h 、と v の間に(4)式のような関係を得た。

$$v^{**} = -0.025x - 0.095h + 7.22 \quad \dots\dots\dots (4)$$

(4)で計算して求めた v_{cal} と実績値 v_{obs} との関係はFig. 1に示すごとくであり、 v_{cal} は良い精度でパレット速度を推定することができる。すなわち上記のごとく生産変動に大きく寄与する v を管理する上で原料の-0.5mm指數は重要な意味を持ち、他の因子が固定された状態でこの指數が±1%変動すると生産は±1.3t/hrの影響を受けることがわかる。

2.3.2 装入密度 d [t/m³] の推定

原料の装入密度は普通、配合原料の総嵩比重 d' 、配合原料水分 m 、装入層厚 h 、装入装置カットプレート前後の層厚偏差 Δh により決まり(5)式のように表わすことができる。

$$d = K_1 \cdot d' \cdot (1-m) \frac{(h+\Delta h)}{h} \quad \dots\dots\dots (5)$$

$$d' = d_0 / (1-m_0)$$

d_0 : 各銘柄乾量値嵩比重の荷重平均値

m_0 : 過去における配合水分平均値 (=0.065)

K_1 : 補正係数

ここで実績データから最小2乗法により、

$$[d - K_1 d' (1-m) \cdot (h+\Delta h)/h] \rightarrow \min$$

にするような K_1 の値を求めるとき $K_1=1.057$ が得られた。

(5)式から計算された d_{cal} と実績値 d_{obs} との関係は、Fig. 2のようになり $|d_{cal}-d_{obs}|$ の標準偏差は $\alpha=0.014$ と、かなりの精度で(5)式より d を推定できることがわかつた。

2.3.3 シンター・ケーキ歩留り η_2 の推定

シンターケーク歩留り η_2 は原料性状、燃料使用量、装入層厚、篩網サイズなど多くの因子によって影響されるが、これらを定量的に関連づけることは非常に困難である。

たとえばFig. 3に示すごとく発生返鉢中の粗粒量は、工場の定期修理を周期とし篩摩耗度に応じて変動し、それとともに返鉢発生率と同様な傾向をとることが予想されるので、 η_2 を原料性状あるいは焼成条件のみから明確に推定することは難しい。

しかし、最近の戸畠DL工場の操業ではFig. 4に示すように原料性状のうち特にスラグ量($\text{CaO}+\text{SiO}_2+\text{Al}_2\text{O}_3+\text{MgO}$)%と η_2 との間に極めて高度な相関を得、(6)式の関係を認めているので、 η_2 は(7)式によつてある程度予想することはできる。

$$\eta'_2 = 1.65S + 34.9 \quad \dots\dots\dots (6)$$

$$\eta_2 = K_2 \eta'_2 \quad \dots\dots\dots (7)$$

ただし、 K_2 は篩摩耗状況により決まる係数で戸畠DLの実績では $K_2=0.98\sim1.05$ の値である。

また、Sはスラグ量で($\text{CaO}+\text{SiO}_2+\text{Al}_2\text{O}_3+\text{MgO}$)%で表わす。

2.3.4 装入層厚 h および焼成歩留り η_1

装入層厚は操業方針に基いて設定するものであり所定期間中はほとんど一定値で管理する。

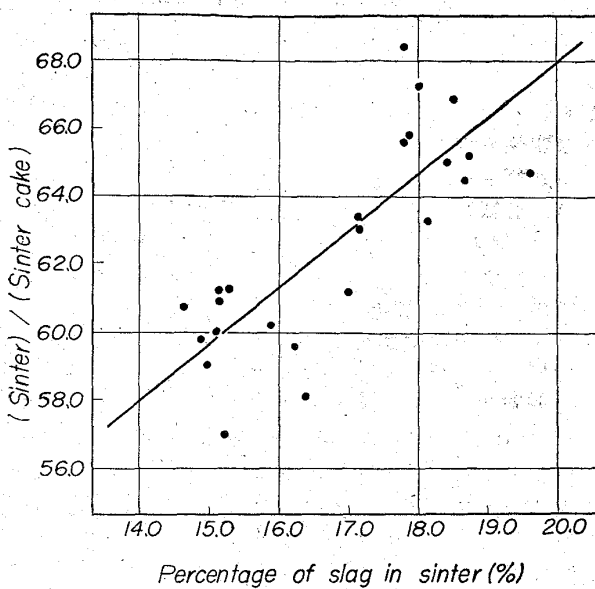


Fig. 4. Relation between slag contents in sinter and sinter cake yields.

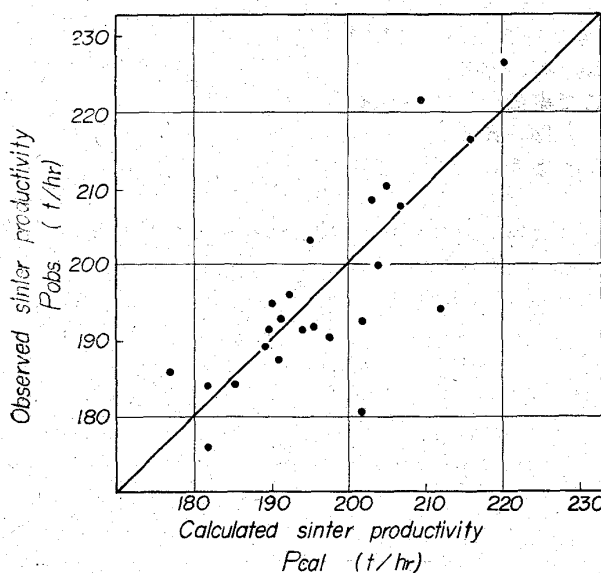


Fig. 5. Comparison of sinter productivity calculated and observed.

また焼成歩留り η_1 についても原料の配合割合が決まれば焼成による揮発成分量 (S , CO_2 , 結晶水 etc), 酸化增量, ダスト・ロス量などを推定して計算できる訳であるが, 前述のごとく η_1 の生産変動への影響率はわずかであるため例えば対前月との補正程度で決めて大差ない。

2.4 生産速度 P の推定および管理

2.3.1~2.3.4 の方法で v, d, η_2, h, η_1 の予想値が決まると (1)' 式により推定生産量 P_{cal} を算出することができる。実績生産量 P_{obs} と P_{cal} との関係を最近の操業 ($S 40.1 \sim S 40.3$) について示すと Fig. 5 のようになり, かなりの精度で P_{cal} が P_{obs} を推定していることがわかる。

以上の結果われわれは焼結の生産管理を実施するに当

たつて (1)' 式が十分運用できることを確認し, さらにある時期における生産の増減に關してもこれを要因別に分類して各因子の影響量を定量的に知ることが可能となつた。

また原料ヤードを十分に活用して原料の粒度, スラグ量, 比重などを主体にした原料配合管理を適正に行なうことにより生産レベルに応じた操業管理もより合理的に実施することができる。

3. 緒 言

戸畠DL工場では生産構造式を用いた生産管理を実施し, 従来に比べて, より合理的な生産管理の可能性を確認した。特に原料の粒度, スラグ量, 比重などと生産性との定量的な関係が他の操業因子との組合せにおいてかなり高精度で示され, これより適正なヤード管理に対する具体的な指針を得ることができた。

なお本報告では, パレット速度 (v), シンターケーク歩留り (η_2) の推定に関して, 最も一般的な回帰式による方法を示した。しかしこれなどをさらに精度の良い普遍的な算出式とするには, たとえば v についても, 焼結機のパワー能力, 焼結層の通気抵抗, 焼結反応機構などを考慮した化学工学的なアプローチが当然必要であり, 数式モデルを基礎とした統計的方法に関する検討を今後続けてゆく予定である。

(41) 粉鉱石のスティックネス測定について

八幡製鉄所, 技術研究所
工博 石光章利・○菅原欣一
On Measurement of Fine-Ores' Stickiness.
Dr. Akitoshi ISHIMITSU and Kinichi SUGAWARA.

1. 緒 言

鉱石の諸性質のうち, スティックネスに関するものは重要性が認識されているにもかかわらず, 基礎的な知識は皆無といつてよい。スティックネスが破碎, 篩分け作業に対する大きな障害であることはいうまでもなく, 高炉原料の整粒が強化されるにつれてその障害の程度はさらに大きなものとなることは自明である。スティックネスを生ぜしめる諸原因を求める, 同時にスティックネスを数量的に表示する方法の考案に着手して日は浅いが, 2, 3 の結果を得たので報告する。

2. 測定方法の検討

粉鉱石のスティックネスが実際作業に問題とされるのは, 粉鉱石自身の凝集塊化性と, 篩, ホッパー, シュート, コンベア・ベルトなどに付着する対象物スティックネスの2面からである。この2つの性質は, おそらく相互に強い関係を持つものと思われるが, ここで取り上げたのは後者の方つまり, 篩ホッパー, シュートなどに対するスティックネスについてである。したがつて基本的な考え方としては, ある固体物質へ粘着した湿潤な粉鉱石を剝離するに要する力を測定して, これをスティックネスとして表示することを試みた。また被粘着固体物質は, 篩, ホッパーなどの材質から鉄板が適當と考えた